

بررسی علل نشست تدریجی خطی زمین و ارزیابی پارامترهای ژئوتکنیکی در شهر ک طالقانی اشتهراد

فریدون رضایی^{۱*} و احمد دادستان^۲

^۱پژوهشکده علوم زمین، سازمان زمین‌شناسی و اکتشافات معدنی کشور، تهران، ایران.

^۲سازمان زمین‌شناسی و اکتشافات معدنی کشور، تهران، ایران.

تاریخ پذیرش: ۱۳۸۸/۰۹/۰۴ | تاریخ دریافت: ۱۳۸۶/۰۹/۰۶

چکیده

نشست زمین، در محدوده شهر ک طالقانی اشتهراد از نوع خطی و تدریجی است که بر روی نهشته‌های آبرفتی بنا شده است. با تهیه نقشه زمین‌شناسی و نیمرخ‌های آن، زمین‌شناسی ساختمانی و با وضعیت و نوع آبخوان، اثر کاهش سطح ایستابی و هیدرورشمی آب زیرزمینی، وجود کانال قدیمی احتمالی به روش ژئوکتریک مطالعه شد. از نظر ژئوتکنیک نهشته‌های ریزدانه عهد حاضر از نوع رس لاغر و چاق همراه با لای و ماسه در رده متوسط با تخلخل زیاد و نشست بیش از حد مجاز هستند. این خاک‌ها با املال معدنی زیاد در رده واگرآ و نیمهواگرآ قرار دارند که با بروود آب از شبکه آبرسانی شهری و چاه‌های جذبی خانگی، حرکت بسیار آهسته را آغاز کرده و سبب نشست تدریجی خطی در امتداد میله‌ها و کوره‌های قنات قدیمی شده‌اند. بررسی وضعیت آب زیرزمینی آبخوان آبرفتی دشت اشتهراد نیز نشان داد که بیلان آن منفی است و به رغم این که هیدرورگراف چاه‌های محدوده شهر ک افت جبران نشده دارند، اما در نشست خطی نقشی ندارند. خاک‌های مستعد واگرایی با نفوذ آب از چاه‌های جذبی خانگی و شبکه آبرسانی شهری و وجود میله‌ها و کوره‌های قنات قدیمی و پنهان در ژرفای ۱۵ متری در زیر شهر ک طالقانی اشتهراد که سبب نشست تدریجی خطی شده است، نشان می‌دهد که گسترش شهر کهن اشتهراد و انتخاب ساختگاه جدید با مطالعات ژئوتکنیکی همراه نبوده است و زنگ خطری است که باید پیش از اجرای طرح‌های عمرانی، بررسی‌های ژئوتکنیکی را در محل ساختگاه انتخابی انجام داد.

کلیدواژه‌ها: نشست خطی، واگرایی، آب زیرزمینی، اشتهراد.

*نویسنده مسئول: فریدون رضایی

E-mail: rezaie8@yahoo.fr

۱- مقدمه

نشست زمین در محدوده شهر ک طالقانی اشتهراد که بر روی نهشته‌های آبرفتی بنا شده است، از نوع خطی و تدریجی است که در بهار ۱۳۸۴ شروع شد و باعث شد تا تنش کششی ناشی از نشست زمین به ساختمان‌های مسکونی آن آسیب برساند. برای تعیین علت اصلی ایجاد آن، بررسی‌های لازم انجام شد و نشان داد خاک‌های سست شهر ک با وجود املال معدنی قابل توجه، مستعد واگرایی هستند که با نشت آب از شبکه آبرسانی شهری و چاه‌های جذبی خانگی، سبب پیدایش تدریجی واگرایی خاک شده است. وجود قنات قدیمی پوشیده در ژرفای ۱۵ متری نیز باعث نشست خطی شده است.

۲- موقعیت جغرافیایی

شهر اشتهراد در ۷۰ کیلومتری باخته شهرستان کرج واقع است. مختصات محل نشست زمین "۲۴° ۴۳' ۳۶" عرض شمالی و "۵۰° ۲۱' ۳۶" طول خاوری است. از نظر توپوگرافی، میانگین بلندی منطقه از سطح دریا ۱۱۸۸ متر و شبکه کلی آن از ارتفاعات جنوبی به سمت شمال به طرف رودخانه شور است. رودخانه شور آب‌های سطحی و زیرزمینی را از جهت باخته به خاور زهکشی می‌کند. میانگین بارندگی محدوده اشتهراد ۲۲۷ میلی‌متر در سال است. سوی باد چیره با فراوانی ۵۰ درصد از سمت باخته و شمال باخته و میزان تبخیر از سطح آزاد آب ۱۷۱۴ میلی‌متر است. منطقه اشتهراد اقلیم خشکی دارد (Tehran Regional Water Authority, 2005b; 2005c).

طبق بررسی‌ها در دشت اشتهراد، نشست زمین گزارش نشده است و تنها از بهار سال ۱۳۸۴ نشست تدریجی خطی آغاز شد که بلاfaciale مطالعات لازم برای شناسایی علت اصلی آن انجام شد.

ساخت شهر ک طالقانی در باخته شهر اشتهراد نتیجه ادامه گسترش شهر بر روی نهشته‌های کواترنری است. در محدوده نشست زمین، ستبرای رسوبات آبرفتی ۱۱۰ متر، ستبرای اشباع لایه آبدار ۷۵ متر و ستبرای لایه غیر اشباع بالای آن ۳۵ متر است.

به طور کلی، حرکت‌های رو به پایین سطح زمین در اثر نیروی جاذبه را نشست زمین می‌نامند که به صورت آهسته و یا ناگهانی با حرکت مواد زیر سطحی رخ می‌دهد و به صورت خطی، ناحیه‌ای و یا ترکیبی از هر دو حالت گسترش می‌یابد.

عوامل مؤثر در نشست زمین از فرایندهای طبیعی یا درونی (Indogenic) و یا غیرطبیعی یا بیرونی (Exogenic) ناشی می‌شوند. عوامل درونی مانند حرکت‌های زمین‌ساختی، تخلیه ماقما، انحلال سنگ‌های آهکی، فروچاله‌های کارستی، اکسیداسیون خاک‌های آلی و تراکم طبیعی خاک در مقیاس زمانی طولانی ظاهر می‌شوند. در حالی که عوامل بیرونی که ناشی از فعالیت‌های بشر مانند کاهش تخلخل لایه‌های آبخوان در اثر افت زیاد و جبران نشده سطح آب زیرزمینی، زهکشی لایه‌های آبدار و کاهش نیروهای نگهدارنده (Buoyancy)، وجود غار و معبرها در معدن‌های زیرزمینی و استخراج نفت و گاز، در فاصله زمانی کوتاه‌تری ایجاد می‌شوند.

نشست زمین یک مشکل جهانی است، به گونه‌ای که در آمریکا بیش از ۱۷۰۰۰ مایل مربع (۴۴۰۰ کیلومترمربع) از زمین‌های مرغوب در ۴۵ ایالت تحت تأثیر نشست ناحیه‌ای قرار دارند (USGS, 2000). در ایران نیز دشت‌های مختلفی مانند جنوب تهران (Shemshaki & Soltani, 2005; Shemshaki et al., 2005), همدان (Dadsetan et al., 2005), مشهد (Anvari & Noroallahian, 2007)، کرمان (Abbasnezhad, 2004; Rahnema & Kazemi, 2006) دچار این مشکل شده‌اند.

یکی از نخستین نیازهای انتخاب محل‌های مناسب، از میان گزینه‌های مختلف برای احداث هر مجموعه‌ای همچون شهرک‌های اقماری، شهرک‌های صنعتی، برج‌ها و مسیر عبور لوله‌های انتقال آب، گاز و نفت، انجام مطالعات ژئوتکنیک، ژئوفیزیک و هیدرورژئولوژی است. این مطالعات شامل تعیین ظرفیت باربری زمین و قابلیت واگرایی خاک، بررسی تغییرات سطح ایستابی و کفی آب زیرزمینی، امکان زهکشی لایه‌های آبدار و شناسایی ناهنجاری‌های احتمالی زیرزمینی است.

گمانه‌ها در شکل ۶ ارائه شده است. نتیجه آزمون‌های صحرابی نشان داد که مقداری نفوذ استاندارد (SPT) خاک (American Society for Testing and Material, 2006) در زرفاهای مختلف در رده سخت و جگالی صحرابی با استفاده از مخروط شنی در حد متوسط قرار می‌گیرد (American Society for Testing and Material, 2006).
 (جدول‌های ۱، ۲، ۳ و ۴) (Das, 1994; 1998a; 1998b).

۵-۱. ویژگی های مکانیکی و واگرایی خاک

طبقه‌های CH و CL در روش طبقه‌بندی یونیفایايد (USCS) است.

- ویژگی های فنی خاک CH در ژرفای ۸۰ متری گمانه BH3 به شرح زیر است:
 وزن مخصوص (γ_d) خاک در حالت خشک $1/46$ گرم بر سانتی متر مکعب
 $(1/46 \text{ kg/cm}^3)$ ، زاویه اصطکاک داخلی (ϕ') بر اساس تنش های مؤثر 22 درجه،
 مقاومت چسبندگی (C') خاک بر اساس تنش های مؤثر 0.0003 کیلو گرم بر سانتی متر
 مربع (0.0003 kg/cm^2) و مقاومت فشاری (q_u) محدود نشده آن 0.024 کیلو گرم بر
 سانتی متر مربع (0.024 kg/cm^2) به دست آمده است.

- ویژگی های فنی خاک CL در ژرفای $8/3$ متری گمانه $BH4$ به شرح زیر است:

وزن مخصوص (γ_d) خاک در حالت خشک $1/41$ گرم بر سانتی متر مکعب $(1/41 \text{ g/cm}^3)$ ، زاویه اصطکاک داخلي (ϕ') بر اساس تنش های مؤثر 24 درجه، مقاومت چسبندگی (C') خاک بر اساس تنش های مؤثر $24/0$ کیلو گرم بر سانتی متر مربع $(0/24 \text{ kg/cm}^2)$ و مقاومت فشاری (q_u) محدود نشده $7/4$ کیلو گرم بر سانتی متر مربع $(3/74 \text{ kg/cm}^2)$ به دست آمده است.

- ویژگی های فنی خاک CH در ژرفای $6/3$ متری گمانه BH_2 به شرح زیر است:

وزن مخصوص (γ_d) خاک در حالت خشک $1/43$ گرم بر سانتی متر مکعب
 $(1/43 \text{ g/cm}^3)$ ، زاویه اصطکاک داخلي (ϕ') آن بر اساس تنش های مؤثر 23 درجه،
 مقاومت چسبندگی (C') خاک بر اساس تنش های مؤثر $0/3$ کیلو گرم بر سانتی متر
 مربع ($0/3 \text{ kg/cm}^2$) و مقاومت فشاری (q_u) محدود شده آن $2/35$ کیلو گرم بر
 سانتی متر مربع ($2/35 \text{ kg/cm}^2$) به دست آمده است.

$$s = \frac{H C_c}{1 + e_o} \log \frac{p_0 + \Delta p}{p_0} \quad (1)$$

به گونه‌ای که S نشست به واحد سانتی‌متر، P_0 بار قائم وارد به خاک (kg/cm^2) ارتفاع نمونه خاک (cm)، e_0 پوکی اولیه خاک، Cc شب منحنی پوکی - نش و ΔP افزایش نش (کیلوگرم/سانتی‌متر 2) است.

با توجه به نتایج به دست آمده، نشست بر روی خاکهای CL و CH به ترتیب مسافت $S = 0.114\text{cm}$ و $S = 0.0631\text{cm}$ است.

در ارزیابی تراکم با استفاده از آزمایش پروکتور اصلاح شده نوع C، پارامترهای وزن مخصوص خشک و درصد رطوبت بهینه محاسبه و نتایج آن در جدول های ۱ تا ۳، اثبات شده است.

در پدیده واگرایی، کانی‌های رسی به علت بار منفی کاتیون‌ها و جذب آب در سطوح ذرات، لایه دوگانه تشکیل می‌دهند و به علت اثرات متقابل آن، میان ذرات رس، نیروی دافعه به وجود می‌آید. همچنین نیروی جاذبه و اندرالولسی میان ذرات نیز وجود دارد. عوامل مختلفی بر لایه دوگانه و در نتیجه بر نیروی دافعه تأثیر می‌گذارند. خاک‌هایی که در آنها نیروی دافعه میان ذرات بیش از نیروی جاذبه باشد، وقتی در معرض آب قرار می‌گیرند، حتی اگر سرعت جریان آب کم باشد، به آسانی از هم جدا و شسته می‌شوند و فرسایش می‌یابند. این خاک‌های به خاک‌های واگرا موسومند. بالا بودن کاتیون‌های سدیم و یا منیزیم در آب منفذی، از ویژگی‌های مهم این خاک‌هاست. آزمایش‌های هیدرومتری مضامن از عوامل این خاک‌ها می‌باشد.

ساختمان‌های مسکونی خسارت دیده (شکل ۱)، یک و یا دو طبقه هستند که بیشتر در کوچه‌های خاوری - باختری شهید غلامحسین محمودی در جنوب و شهید غلامحسین شاهrestختی در شمال، میان خیابان باهنر در سمت راست و خیابان رجایی در سمت چپ قرار دارند (شکل ۲). این نشست به صورت تدریجی خطي در امتداد دو کوچه یاد شده ایجاد شده است.

۳- روش کار

برای آگاهی از شرایط زمین شناسی، زمین ساختی و هیدرولوژی منطقه اشتهراد، نقشه زمین شناسی با مقیاس ۱:۲۵۰۰۰ همراه با نیمرخ های مربوطه تهیه شد. برای تعیین لایه بندی و شرایط ژئوتکنیکی، نقاط مناسب پیرامون محدوده طرح برای حفر گمانه های ژئوتکنیکی انتخاب و بر اساس برنامه، نمونه های دست خورده و دست خورده خاک تهیه شد. آزمایش های نفوذ استاندارد و چگالی صحرایی در عملیات صحرایی و آزمایش های فیزیکوشیمیایی و مکانیکی شامل دانه بندی، هیدرومتری ساده و مضاعف، حدود روانی و بلاستیک، چگالی، درصد جذب آب، تراکم، pH، درصد های کلر، منیزیم و سولفات، تک محوری، برش مستقیم و تحکیم در آزمایشگاه انجام شد. مطالعات زیرسطحی مانند وضعیت و نوع آبخوان، اثر و عوامل تغییرات سطح ایستابی آب زیرزمینی در دوره های آبی و وجود ناهنجاری های احتمالی مانند کانال قدمی از نظر ژئوفیزیکی بررسی شد. تمامی نتایج به دست آمده، تجزیه، تحلیل و تلفیق گردیدند و بر اساس آن، مسائل ژئوتکنیکی منطقه از نظر عوامل ایجاد کننده ناهنجاری، مقاومت زمین و نشت آن نتیجه گیری شد.

۴- زمین‌شناسی

عوامل کنترل کننده زمین‌ریخت‌شناسی منطقه، عوامل ساختاری، سنگ‌شناختی، دگرسانی و آب‌وهواهای است. نهشته‌های نتوڑن، سست و زودفرسا هستند و شرایط آب‌وهواهی نیز با سرعت دادن به فرایند هوازدگی و فرسایش بر روی واحدهای زودفرسا، ریخت‌شناسی منطقه را در درازمدت شکل داده‌اند. بهمین دلیل، سنگ‌های نتوڑن در مناطق پست و کم ارتفاع مشاهده می‌شوند. نهشته‌های کواترنری از واحدهای Q^1 (نهشته‌های آبرفتی دیرین در زمینه‌ای از ماسه و سیلت)، واحد Q^2 (نهشته‌های آبرفتی عهد حاضر)، واحد Q^{fp} (معادل واحد Q^2 اما با تراکم بیشتر آبراهه‌ها و حجم بیشتر)، واحد Q^{cu} (زمین‌های کشاورزی و معادل واحد Q^2 اما از عناصر دانه ریز) و واحد Q^3 (پهنه نمکی شمال) تشکیل شده‌اند (شکل ۳) (Yousefi 2000; Dadsetan et al. 2005).

ساختمان زمین‌شناسی اصلی محدوده اشتهراد شامل دشت باریک و کشیده اشتهراد است. در ضلع شمالی، نهشته‌های نئوژن بر روی رسوبات عهد حاضر رانده شده (راندگی مرآباد) و تاقدیس هایی هم قابل مشاهده است و در بخش جنوبی گسل‌های وارون (Reverse) و راستالغز فراوان هستند. در دشت اشتهراد، گسل خاوری- باختり اشتهراد قرار دارد که به طور کامل جوان است و سازوکار آن رورانده تا وارون با مؤلفه امتدادلغز چپ گرد است (شکل‌های ۳ و ۴). این گسل باعث قرار گیری رسوبات دانه‌ریز در کنار رسوبات درشت‌دانه آبخوان و بالا آمدن سطح آب زیرزمینی در بخش خاوری دشت اشتهراد شده است (شکل ۵).

٥- مطالعات ظُهُور تكنلوجي

برای شناسایی جنس لایه‌ها و دیگر ویژگی‌های فنی خاک در نقاط انتخابی پیرامون محدوده طرح، ۴ حلقه گمانه دستی تا ۱۰۰۰ متری حفر گردید. همزمان با پیشرفت حفاری، آزمون‌های صحرایی نفوذ استاندارد و چگالی صحرایی انجام شد. برای آزمون‌های تکمیلی در آزمایشگاه نیز نمونه‌داری هایی صورت گرفت. مختصات

نتیجه مؤثر در گستره دشت می تواند باعث نشست منطقه ای شود اما نه به صورت خطی که هم اکنون در شهرک طالقانی دیده می شود. این در حالی است که افت سطح آب زیرزمینی آبخوان در مناطق دیگر نیز بیشتر است، بدون آن که نشستی را تحریب کرده باشد.

یک از اقدامات انجام شده برای بررسی علت نشست خطی زمین در شهر ک طالقانی، تعیین مسیر قنات اشتهراد بود تا مشخص شود که آیا محدوده شهر ک طالقانی محل عبور کوره ها و میله های این قنات بوده است یا خیر؟ در این زمینه با افراد محلی و قدیمی های شهر از محل پیدایش قنات تا محدوده میدان بسیج پرس و جو شد. در این میان مشخص شد که مظہر قنات مزرعه اشتهراد در ضلع شمالی خیابان چمران (جلوه سابق) روپریوی کتابخانه کنونی شهر قرار داشته و مسیر آن از محدوده شهر ک طالقانی می گذشته است. این قنات از دهه ۱۳۴۰ به دلایل مختلف و به تدریج غیر قابل استفاده شده است (شکل ۹).

بنایا به گفته خبرگان محلی، بهدلیل تخریب میله‌ها و کوره‌های قنات مزروعه اشتهراد و غیر قابل ترمیم شدن آنها، میله‌ها و کوره‌های دیگری حفاری شده که هدایت آب را در آنها مسیر می‌کرده است. این امر موجب شده است که میله‌ها و کوره‌ها در محاذده شهر ک طالقانی به تعداد نامشخص و به صورت مدفون وجود داشته باشند و احتمال دارد که هر کدام از میله‌های قنات، خود نقطه شروعی برای نشسته‌های بعدی در شهر باشد.

۵-۳. بحث درباره احتمال ورود پساب‌های شپرک صنعتی و منازل مسکونی به قات اشتهارد

آب مورد نیاز روزانه واحدهای صنعتی شهر که صنعتی اشتهراد 80 لیتر در ثانیه و حجم پساب‌های متصل به سامانه تصفیه فاضلاب آنها نیز 32 لیتر در ثانیه است که با ورود به سامانه تصفیه، سرانجام به مصرف فضای سیز می‌رسد. برای بررسی دقیق تر، نوسانات سطح آب طی یک دوره 5 ساله ($1379-83$) در پیزومتر جنوب باختری شهر اشتهراد که در فاصله 116 متری یکی از میله‌های قنات اشتهراد قرار دارد مورد بازبینی قرار گرفت و نشان داد که برآیند آن سیر نزولی دارد. به همین علت ورود پساب‌های صنعتی به درون قنات اشتهراد در این دوره 5 ساله منتفی اعلام شد (شکا، ۷).

بیشترین دفع فاضلاب خانگی در شهر ک طالقانی با استفاده از روش سنتی چاه جذبی صورت می‌گیرد. مقدار ضریب هدایت هیدرولیکی آبخوان برای بخش‌های اشباع و غیراشباع به ترتیب $(k = 8.487 \times 10^{-3} \text{ cm/sec})$ و $(k = 1.697 \times 10^{-2} \text{ cm/sec})$ است. با توجه به شبیه هیدرولیکی ایجاد شده با سطح آب زیرزمینی در ژرفای ۳۵ متری، سوی جریان آب نفوذی نیز باید عمودی باشد تا خود را به شرایط کمینه پتانسیل یعنی به ژرفای ۳۵ متری برساند. بنابراین، تا ژرفای ۳۵ متری، تجمع آب نفوذی ایجاد نخواهد شد، مگر این که وجود عدسی‌هایی از لایه‌های غیرقابل نفوذ رس، سد راه آب‌های نفوذی شود. همچنین، ورود پساب خانگی به درون چاه‌های جذبی یک فرایند پیوسته به شمار می‌رود که از ابتدا تأسیس شهر ک طالقانی تا حال حاضر در درون چاه‌های جذبی هدایت شده است. به این ترتیب می‌توان بیان کرد که چون فرونشستی در نقاط کناری مشاهده نشده است، ورود پساب خانگی به درون چاه‌های جذبی به تهایی هم نمی‌تواند به عنوان عاملی برای به وجود آمدن فرونشست به شمار آید، اگر چه تأمین کننده رطوبت لازم برای رخداد و اگرایی خاک است.

۵-۶. کیفیت شیمیایی آب زیرزمینی

در محدوده شهرک طالقانی هدایت الکتریکی رسوبات یا خاک در مهر ماه $1381 \mu\text{s}/\text{cm}$ و اردیبهشت $1382 \mu\text{s}/\text{cm}$ بوده است (Tehran Regional Water Authority, 2005b). یعنی در مدت ۸ ماه، مقدار آن به میزان $1382 \mu\text{s}/\text{cm}$ افزایش یافته است. میزان کلرور اردیبهشت 1382 mg/lit و 800 mg/lit مقدار TDS اردیبهشت 1382 ، 2850 mg/lit است. املح فراوان و کیفیت نامناسب آن را باعث شده است.

(جدول های ۱ تا ۶)، در راستای قابلیت و اگرایی خاک ها انجام شد. در این طرح، با انجام آزمایش های هیدرومتری مضاعف و با استفاده از فرمول ۲، خاک های و اگرا و غیر و اگرا از هم قابل تشخیص هستند:

$$\%S_{gnu} / \%S_{gu} = \text{درصد واگرایی} \quad (2)$$

که در آن δ_{gmu} ذرات تهشین شده با قطر $0/005$ میلی متر بدون استفاده از مواد جدا کننده و δ_{gu} ذرات تهشین شده با قطر $0/005$ میلی متر با استفاده از مواد جدا کننده است.

نتایج آزمایش‌های هیدرومتری مضرافع که در راستای قابلیت و اگرایی خاک‌ها انجام می‌شود، و اگرایی نسبی خاک‌ها را نشان می‌دهد. این موضوع، با توجه به بالا بودن مقادیر املاح معدنی در منطقه (به ویژه منیزیم)، طبیعی به نظر می‌رسد. بنابراین، می‌توان خاک‌ها را در رده و اگرا و نیمه‌و اگرا قرار داد.

۵-۲. ویژگی‌های هیدرودینامیکی آبخوان آبرفتی محدوده مورد مطالعه

قابلیت انتقال آبخوان آبرفتی دشت استهوارد در محموده خیابان‌های شهید باهنر و رجایی، از ژرفای ۳۰ متری از سطح زمین معادل ۱۱۰۰ متر مربع در روز (Tehran Regional Water Authority, 2005b) و ضریب نفوذپذیری نیز ۰/۰۱۶۹۷ است که مربوط به ذرات ریز ماسه سانتی‌متر بر ثانیه ($k = 1.697 \times 10^{-2} \text{ cm/sec}$) است. اگر مقدار ضریب نفوذپذیری برای لایه غیر اشاع بالایی همراه با سیلت و رس است. اگر مقدار ضریب نفوذپذیری برای لایه غیر اشاع بالایی معادل ۰/۵٪ لایه اشاع در نظر گرفته شود، مقدار ضریب نفوذپذیری لایه غیر اشاع سانتی‌متر بر ثانیه ($k = 8.487 \times 10^{-3} \text{ cm/sec}$) خواهد شد که مربوط به مخلوط ماسه، سیلت و رس است.

با بررسی نقشه همارتفاعع مطلق طاق سنگ کف (Tehran Regional Water Authority, 2005b) در محدوده باختری اشتهراد، سنگ کف در ارتفاع بیش از ۱۰۷۵ متر قرار دارد که در مقایسه با ارتفاع توپوگرافی آن، ژرفای سنگ کف ۱۲۵ متر به دست می‌آید. جنس سنگ کف نهشته‌های روسوبی پلیکواترنر PLQ از کنگلومراei ساخت با میان لایه‌های ماسه، سیلت و رس است که با دگر شبیی بر روی نهشته‌های روسوبی نتوڑن (M^{msl}) از جنس مارن سرخ با میان لایه‌های زیپس و نمک، ماسه سنگ و سیلستون سبز و آهک نازک لایه قرار دارد (شکار، ۴).

در محدوده شهر اشتهراد ۴ حلقه چاه پیزومتری با مختصات سامانه متری (UTM) به ترتیب طول جغرافیایی و عرض جغرافیایی شامل پیزومتر جنوب باختری اشتهراد (۳۹۵۲۹۸۰-۳۹۰۸۱۰)، پیزومتر خاوری اشتهراد (۴۴۶۱۰-۳۹۵۲۸۰)، پیزومتر (۴۴۷۳۴۰-۳۹۵۰۸۰) و پیزومتر شمال خاوری امامزاده سلیمان (۴۴۹۳۹۰-۳۹۵۴۱۷۰) در سال ۱۳۷۶ (۴۴۹۳۹۰-۳۹۵۴۱۷۰) حفاری شده است که به ترتیب نماینده تغییرات سطح آب زیرزمینی در محدوده شهر است. اما در شمال یا شمال باختری و جنوب آن چاه پیزومتری حفر نشده و نبود چاه پیزومتر در این نقاط با توجه به حساسیت مسایل و مشکلات شهری، در خور توجه است. نوسانات ماهانه ژرفای آب زیرزمینی پیزومترهای بالا در شکل ۵ ارائه شده است. شکل ۷ تغییرات سطح آب زیرزمینی از سطح بلندی دریا و نوسانات ژرفای آن را از سطح زمین در پیزومتر جنوب باختری اشتهراد نشان می دهد که با کاهش ارتفاع سطح آب زیرزمینی بر ژرفای آن افزوده شاهد است. (Tehran Regional Water Authority 2003-2005c)

بر اساس هیدروگراف واحد پیزومترهای جنوب باختری و خاور شهر اشتهراد، اختلاف تراز سطح آب زیرزمینی به ترتیب معادل $8-41$ m و $2-62$ m میانگین حجم بهره‌برداری غیرمجاز در محدوده زیر پوشش آنها نیز به ترتیب معادل $4/5$ و $0/5$ میلیون متر مکعب در سال است (شکل ۸). (Tehran Regional Water Authority, 2003; 2005b)

نوسانات سطح آب زیرزمینی از سال ۱۳۷۹ تا ۱۳۸۴، به ترتیب در ژرفهای بیش از ۳۰ و ۳۵ متری بوده است. این مقدار افت جبران نشده سطح آب زیرزمینی، با کاهش

تماس با سیالات، دچار فرسایش و یا واگرایی می‌شود. وزن مخصوص صحرایی و آزمایشگاهی به روش پروکتور نیز سستی خاک را تأیید می‌کند.

قات خشک مدفون در شهر اشتهراد در نتیجه برخوردار نبودن آبخوان از مدیریت توانمند منابع آب زیرزمینی در درازمدت ایجاد شده است. به گونه‌ای که اختلاف تراز سطح آب زیرزمینی در هیدروگراف واحد بیزومنترهای جنوب باختری و خاور شهر اشتهراد به ترتیب معادل $8/41$ - $2/62$ متر است و میانگین حجم بهره‌برداری غیرمجاز سالانه در محدوده تحت پوشش آنها معادل $4/5$ - $0/5$ میلیون متر مکعب است. در بررسی‌های انجام شده، مشخص شد که ورود پساب‌های شهرک صنعتی اشتهراد به درون قات اشتهراد در دوره ۵ ساله ($1379-83$) متفق است و کاهش سطح آب زیرزمینی، تنها در دراز مدت و به صورت منطقه‌ای می‌تواند در تنش مؤثر نقش اساسی داشته باشد.

در میان روش‌های ژئوفیزیکی روش ژئوکتریک، قات قدیمی اشتهراد را در ۱۵ متری ثبت کرد. وجود این قات با واگرایی خاک بالای آن، باعث نشست خطی شده است.

با توجه به این که برای گسترش شهر اشتهراد (با وجود کوره‌ها و میله‌های مدفون قات) به وضعیت ژئوتکنیکی محل‌های انتخاب شده توجهی نشده است، خاک شهرک طالقانی پتانسیل لازم را داشته است تا با ورود آب از شبکه آبرسانی و پساب خانگی به درون چاههای جذبی، به عنوان عاملی برای تأمین رطوبت لازم و سرعت دهنده واگرایی خاک با مقادیر قابل توجه املاح معدنی، نشست را تجربه کند.

سپاسگزاری

تهیه‌کنندگان این پژوهش از کمک‌های همکاران محترم آقایان مهندس مسعود عبدالی، مهندس مهرزاد خندان، مهندس فیروز جعفری و مهندس اصغر صادقی و تکنسین‌های محترم آقایان احمد راصدی و فرامرز الورדי که در بخش‌های مختلف این طرح، یاور ما بوده‌اند سپاسگزاری می‌کنند.

آب زیرزمینی، با کاهش سطح آب زیرزمینی و اثر نهشته‌های پلیکواترن زیرین ارتباط مستقیم دارد. نوع آب زیرزمینی نیز در جنوب اشتهراد از نوع سولفات سدیک است که به تدریج به سمت شمال به کلوروسدیک تبدیل می‌شود.

۵- بررسی‌های ژئوفیزیکی

برای تعیین مسیر قات مدفون اشتهراد در محدوده شهرک طالقانی، گروه ژئوفیزیک زمینی سازمان زمین‌شناسی و اکتشافات معدنی کشور با استفاده از روش‌های ژئوفیزیکی (Very Low Frequency) VLF، مغناطیس‌سنجی (Magnetometer Survey)، ژئوکتریک و لرزه‌ای برای مطالعات زیر سطحی اقدام کرد. در میان روش‌های استفاده شده، تنها روش ژئوکتریک بی‌هنجراری ناشی از حفره به جامانده از قات قدیمی اشتهراد را در ژرفای ۱۵ متری ثبت کرده است که تأییدی بر وجود قات در زیر ساختمان‌های آسیب دیده است.

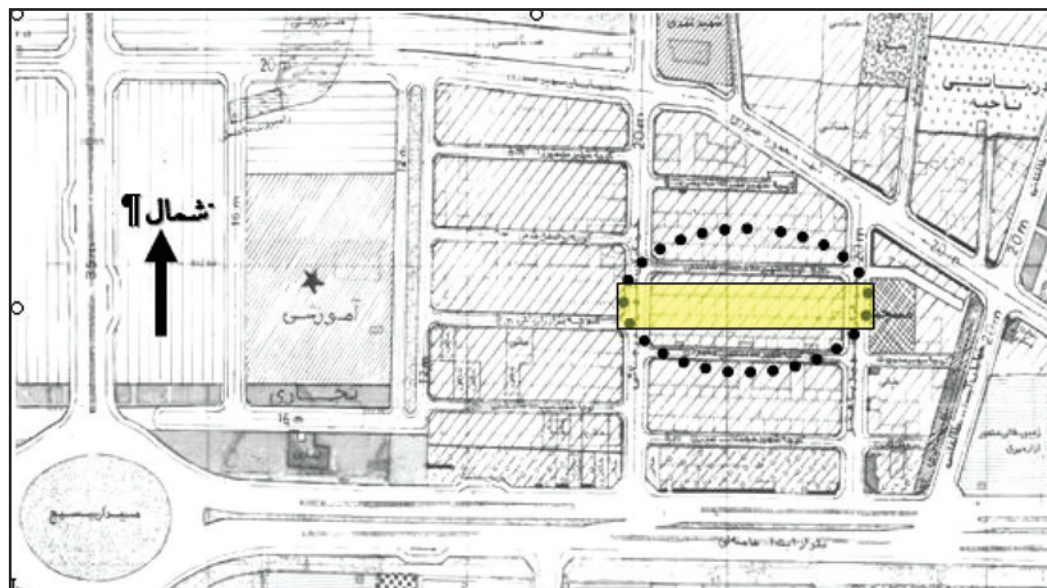
(Tehran Regional Water Authority, 2005a; 2005b)

۶- نتیجه‌گیری

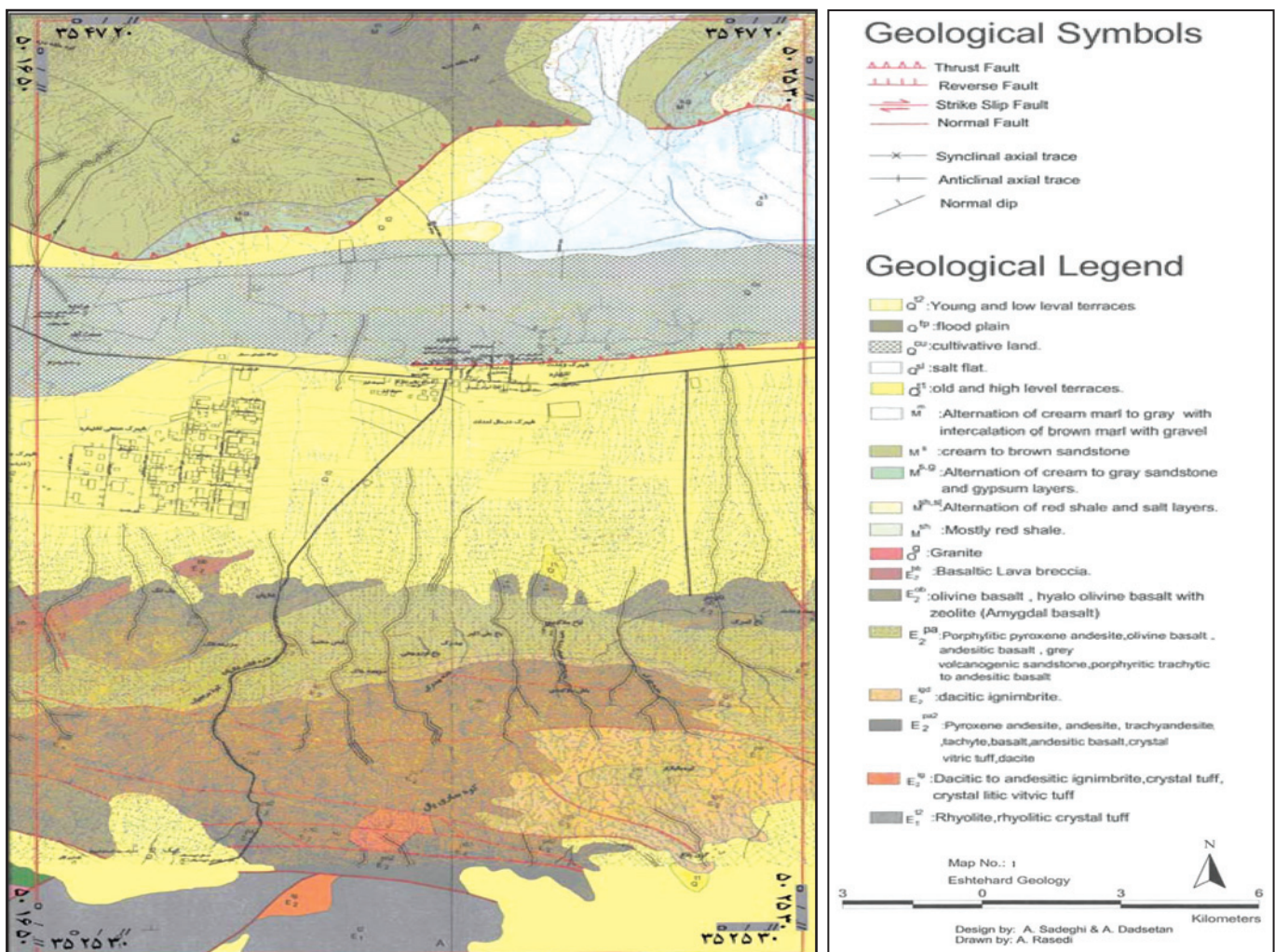
بر اساس طبقه‌بندی یونیفايد، خاک‌های محدوده طرح از نوع رسی لاغر و چاق، همراه با لای و ماسه هستند. در طبقه‌بندی کیفیت خاک بر اساس مقادیر مقاومت فشاری محدود نشده ($q_u \leq 3 \text{ kg/cm}^2$ ، در رده متوسط تا سخت قرار می‌گیرد اما به علت پوکی و تخلخل زیاد، مقدار نشست زیاد است. این نشست که در نتیجه تحکیم حاصل می‌شود، بیش از حد مجاز است و در طول زمان، با کاهش فشار آب منفذی و به نسبت افزایش نشش مؤثر، افزایش می‌یابد. نتایج آزمایش‌های هیدرومتری مضاعف که در راستای قabilت واگرایی خاک‌ها انجام شد، واگرایی نسی خاک‌ها را نشان می‌دهد. این موضوع، با توجه به محتوای بالای املاح معدنی در منطقه (به ویژه منیزیم)، طبیعی به نظر می‌رسد. بنابراین، می‌توان خاک‌های محدوده شهرک طالقانی را در رده واگرای نیمه واگرای قرار داد. همچنین مقادیر آزمایش نفوذ استاندارد (SPT) از نظر تراکم، در رده سخت، قرار می‌گیرد. دلیل این موضوع را می‌توان چنین توضیح داد که خاک در محل، بدون هوازدگی است و به محض خارج شدن و یا در



شکل ۱- مؤلفه‌های افقی و عمودی حرکت ناشی از نشست زمین و تخریب ساختمان مسکونی در شهرک طالقانی اشتهراد.

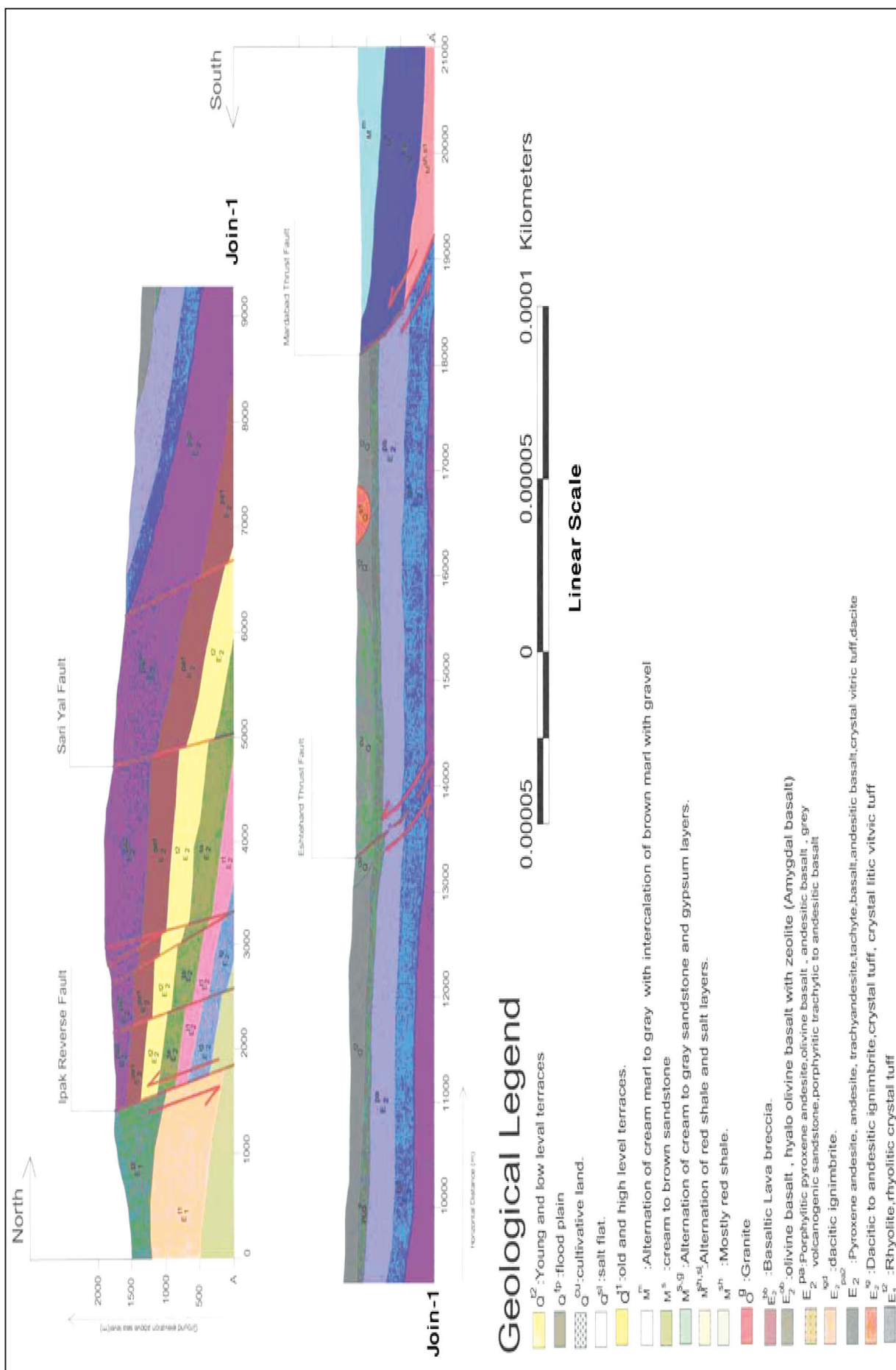


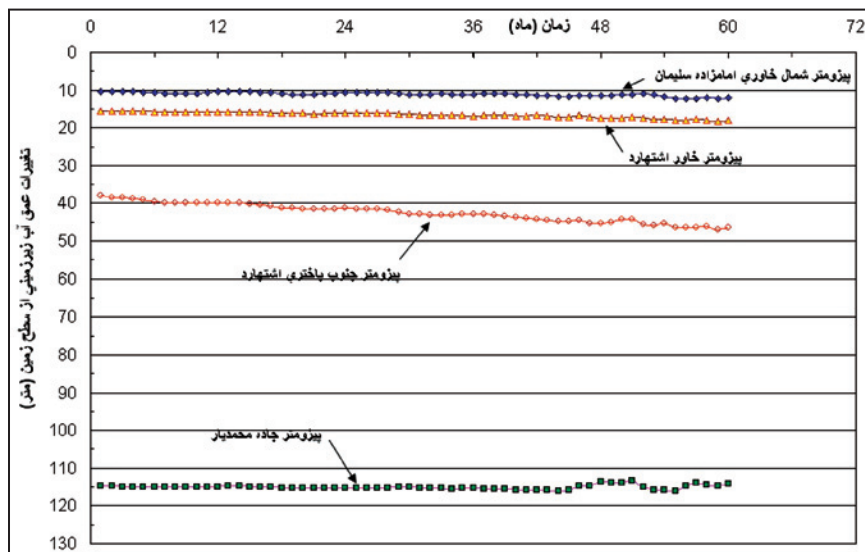
شکل ۲- موقعیت ساختمان‌های آسیب دیده شهر ک طالقانی در باخته شهر اشتهرد بر روی نقشه هادی با راستای خطی و با نقطه‌چین نشان داده شده است.



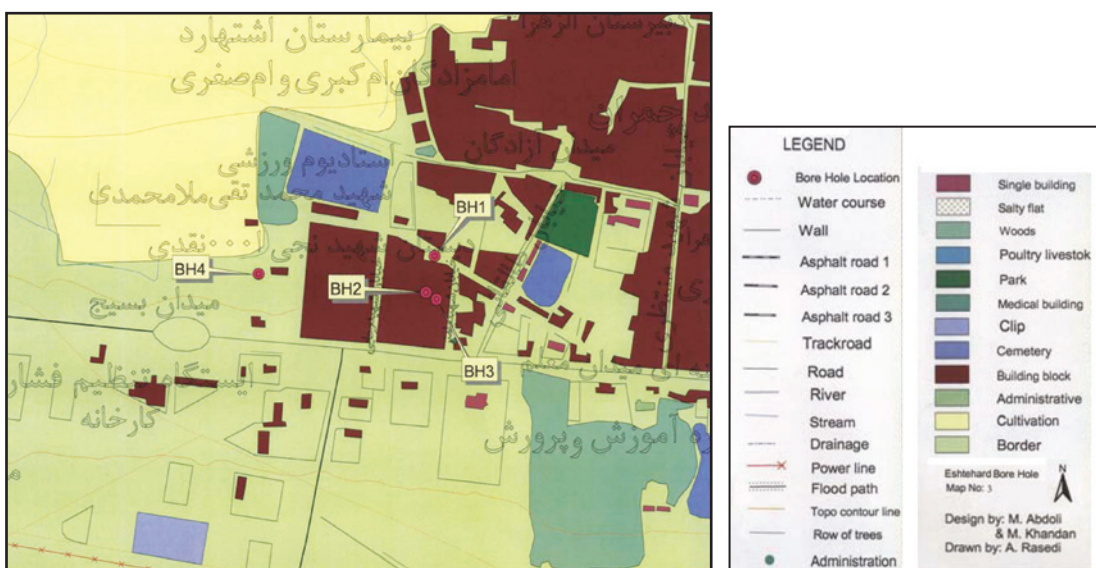
شکل ۳- نقشه زمین‌شناسی محدوده اشتهرد.

شکل ۴- نقشه نیميخ زمین شناسی محدوده اشتهارد در امتداد A-A'

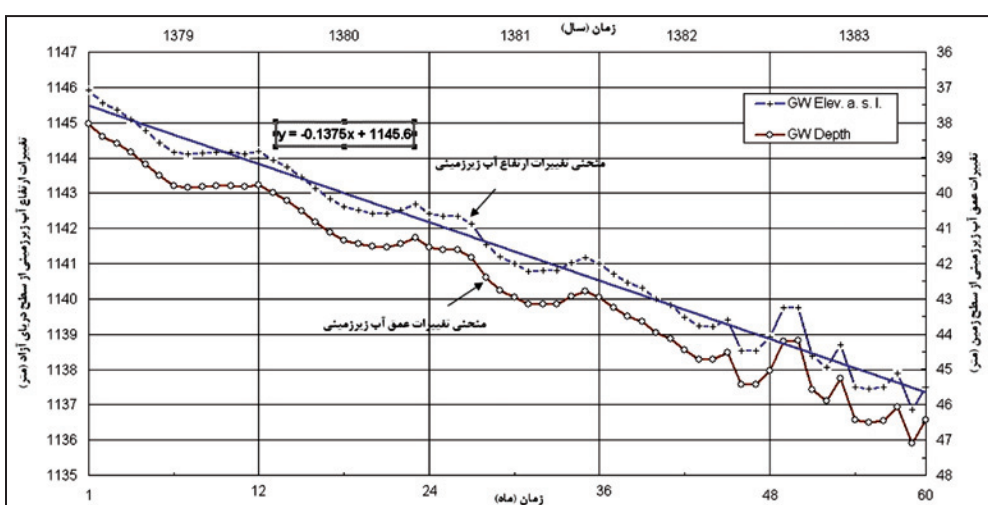




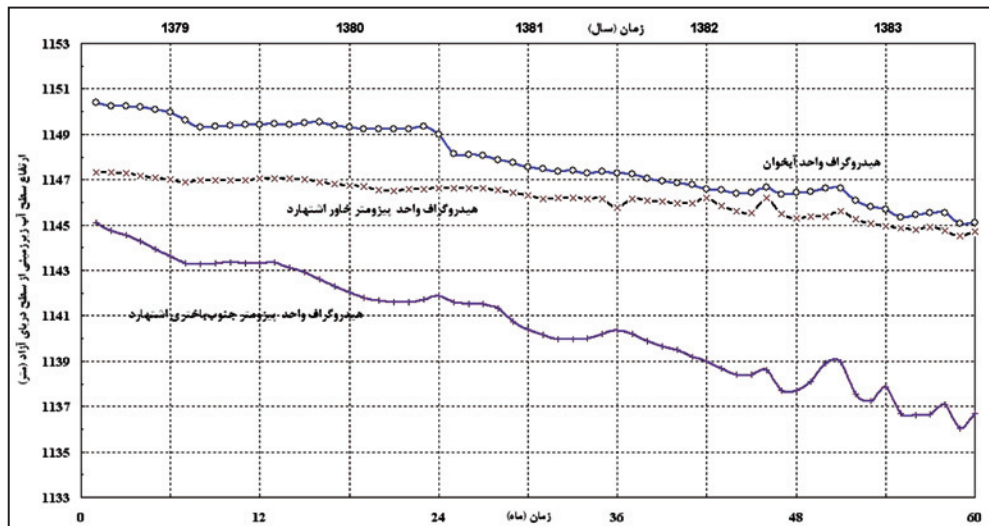
شکل ۵- نوسان ژرفای آب زیرزمینی در ۴ حلقه از چاههای پیزومتری آبخوان آبرفتی در محدوده شهر اشتهراد (۱۳۷۹-۱۳۸۳).



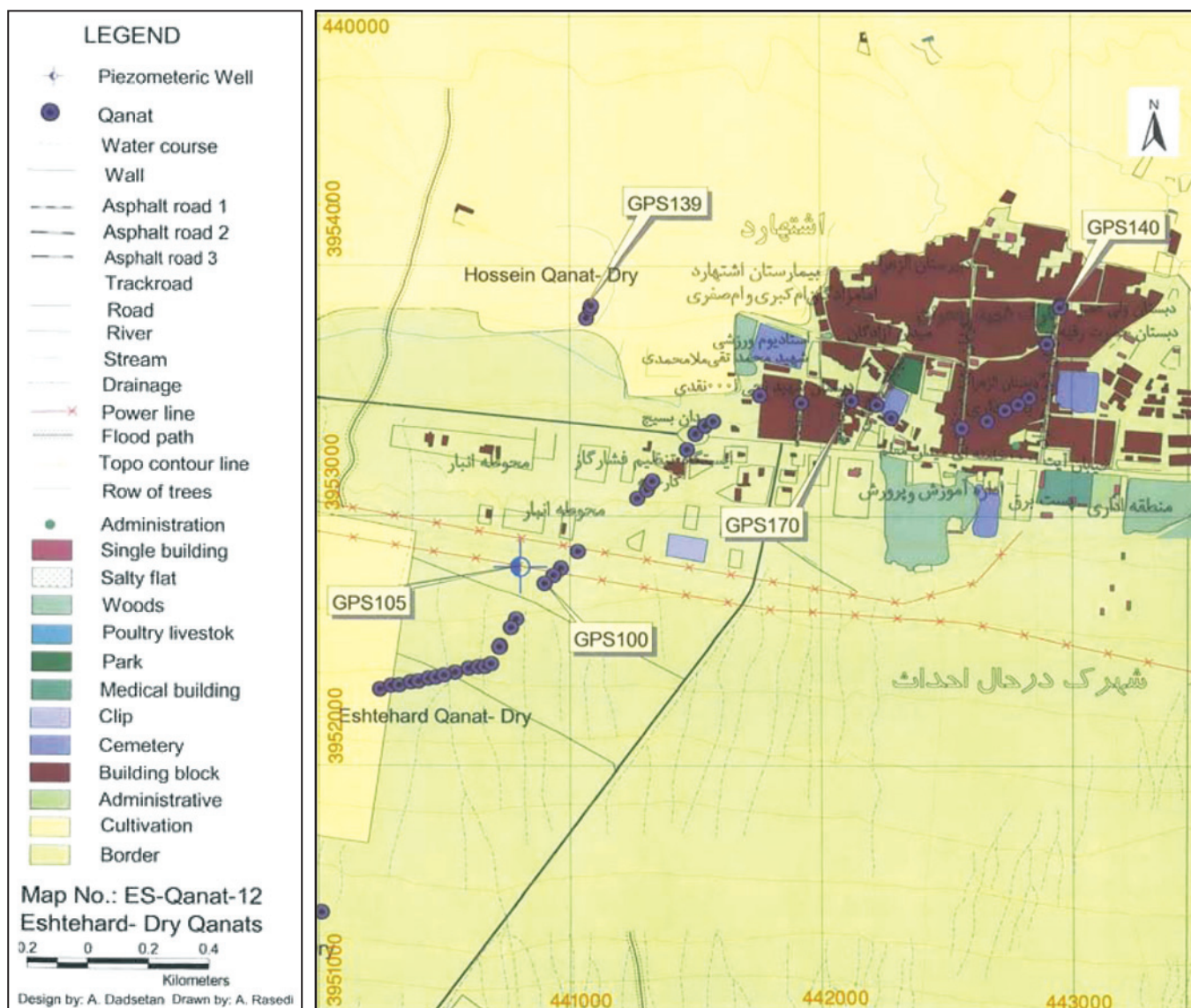
شکل ۶- نقشه موقعیت گمانه‌های ژنتکیکی در محدوده شهر ک طالقانی اشتهراد.



شکل ۷- تغییرات ارتفاع آب زیرزمینی و نوسانات ژرفای آن در پیزومتر جنوب باختری اشتهراد (۱۳۷۹-۱۳۸۳).



شکل ۸- مقایسه تغییرات هیدروگراف واحد پیزومترهای خاوری و جنوب باختری شهر اشتهراد با هیدروگراف واحد آب زیرزمینی آبخوان آبرفتی دشت اشتهراد (۱۳۷۹-۱۳۸۳).



شکل ۹- نقشه موقعیت میله‌های قنات در محلوده شهر اشتهراد.

Bore Hole No.	Sample No.	Depth (m)	SPT No.	Moisture Content (MC) (%)	Group	C(kg/cm ²)	q_u (kg/cm ²)	Mono axial	Direct Shear	Consolidation
BH2	TRA-1A	2	---	14.14	CL	---	---	---	---	---
	TRA-1B	3	---	16.25	CL	---	---	---	---	---
	TRA-1C	4.2	---	23.42	CH	---	---	---	---	---
	TRA-1F	>50	27.16	CH	1.15	2.35	0.3	23°	0.091	0.114
BH1	TRA-1G	7	---	26.44	CL	---	---	---	---	---
	AST-1A	1.9	---	7.56	CL	---	---	---	---	---
	AST-1B	3.05	13.93	CL	---	---	---	---	---	---

جدول ۲ - نتایج آزمایشگاهی نوبه خاکهای دستنخورد (UNDISTURBED SAMPLE)

Bore Hole No.	Sample No.	Depth (m)	MC (%)	Group	Mono axial			Direct Shear		Consolidation		Compaction		Field Density	
					C (kg/cm ²)	q_u (kg/cm ²)	C (kg/cm ²)	Φ°	C _c	S (cm)	γ_{max} (g/cm ³)	γ_{wet} (g/cm ³)	γ_d (g/cm ³)		
BH3	esh-1A	0.6	11.52	CL	---	---	---	---	---	---	---	---	---	---	---
	esh-1B	1.1	15.15	CL-ML	---	---	---	---	---	---	---	---	---	---	---
	esh-1C	1.8	19.22	CL	---	---	---	---	---	---	---	---	---	---	---
	esh-1E	3.35	18	CL-ML	---	---	---	---	---	---	1.6	2.26	1.89	---	---
	esh-1G	5.8	21.96	CL	---	---	---	---	---	---	---	---	---	---	---
	esh-1H	6.5	20.55	SM	---	---	---	---	---	---	---	---	---	---	---
	esh-1J	8	25.74	CH	1.62	3.24	0.38	22°	0.045	0.058	---	---	---	---	---
BH4	esh-2B	2.35	21.44	CL	---	---	---	---	---	---	---	---	---	---	---
	esh-2D	4.2	13.62	SM	---	---	---	---	---	---	---	---	---	---	---
	esh-2G	8.3	25.3	CL	1.87	3.74	0.24	24°	0.029	0.063	---	---	---	---	---

جدول ۳ - نتایج آزمایشگاهی دانه‌بندی نوبه خاکهای دستنخورد (DISTURBED SAMPLE)

Bore Hole No.	Sample No.	Depth (m)	SPT No.	MC (%)	Group	Unified Classification & Soil Description	LL (%)	PL (%)	PI (%)
TRA-1A	2	---	14.14	CL	Lean Clay with Sand	34.2	16.13	18.07	
TRA-1B	3	---	16.25	CL	Sand Lean Clay	33.3	20.05	13.25	
BH2	TRA-1C	4.2	---	23.42	CH	Fat Clay	62.1	23.68	38.42
	TRA-1F	6.3	>50	27.16	CH	Fat Clay	61.6	23.57	38.03
	TRA-1G	7	---	26.44	CL	Lean Clay	44.75	19.36	25.39
BH1	AST-1A	1.9	---	7.56	CL	Lean Clay with Sand	29.1	16.86	12.24
	AST-1B	3.05	13.93	CL	Lean Clay with Sand	39.5	26.74	12.76	

جدول ۴- نتایج آزمایشگاهی دانه‌بندی نمونه خاک‌های دست‌خورده (DISTURBED SAMPLE)

Bore Hole No.	Sample No.	Depth (m)	SPT No.	MC (%)	Group	Unified Classification & Soil Description	LL (%)	PL (%)	PI (%)	PH	Cl (%)	SO ₄ (%)
BH3	esh-1A	0.6	---	11.52	CL	Lean Clay with Sand	39.82	28.98	10.84	---	---	---
	esh-1B	1.1	---	15.15	CL- ML	Silty Clay	37.85	33.09	4.76	---	---	---
	esh-1C	1.8	>50	19.22	CL	Lean Clay	35.81	26.64	9.17	7.3	0.5	13.28
	esh-1E	3.35	>50	18	CL- ML	Gravelly Silty Clay	35.8	29.66	6.14	---	---	---
	esh-1G	5.8	---	21.96	CL	Lean Clay	39.82	28.98	10.84	---	---	---
	esh-1H	6.5	---	20.55	SM	Silty Sand	NONE	NONE	NONE	---	---	---
BH4	esh-1J	8	---	25.74	CH	Fat Clay	54.6	27.19	27.41	---	---	---
	esh-2B	2.35	>50	21.44	CL	Lean Clay	47.2	25.82	21.38	7.3	0.18	26.81
	esh-2D	4.2	---	13.62	SM	Silty Sand	NONE	NONE	NONE	---	---	---
	esh-2G	8.3	>50	25.3	CL	Lean Clay	45.6	25.5	20.09	---	---	---

جدول ۵- نتایج تجزیه شیمیایی نمونه خاک گمانه اکتشافی.

جدول ۶- نتایج کاتی‌شناسی (XRF) نمونه خاک گمانه‌های اکتشافی.

	BH3	BH4
pH in 20 °C	7.3	7.3
TDS	---	---
Cl	0.50%	0.18%
SO ₄	13.28%	26.81%
Mg	---	---

Composition Formula	BH ₂ Con. (%)	Composition Formula	BH ₂ Con. (%)
L.O. I.	32.29	SO ₃	0.29
Na ₂ O	0.45%	K ₂ O	0.88
MgO	1.24%	CaO	43.24
Al ₂ O ₃	3.95	TiO ₂	0.28
SiO ₂	13.81	MnO	0.07
P ₂ O ₅	0.07	Fe ₂ O ₃	2.65

References

- Abbasnezhad, A., 2004- Karst sinkhole in Ekhtiarabad- NW Kerman, Geosciences, Vol. 12 No. 51-52, Geological Survey and Mineral Exploration of Iran.
- American Society for Testing and Material, 2006- ASTM Standard, Section. 4, Vol. 04.08, Philadelphia, Pa.
- Anvari, M. A. & Noroallahian, H., 2007- New approach to ground subsidence in Mashhad plain, 86 Geomatics Symposium, NCC.
- Dadsetan, A., Rezaie, F., Sadeghi, A., Abdoli, M., Khandan, M., Jaferi, F., Rasedi, A. & Allahverdi, F., 2005- Ground linear subsidence in Taleghan area of Eshtehard city; exploring the causes, consequents and recommendations, Report of Geological Survey and Mineral Exploration of Iran, Tehran, Iran.
- Dadsetan, A., Soltani, I. E. & Bolourchi, M. J., 2005- Preliminary investigation of sinkholes occurrence and their hazards in Kabudar Ahang, Famenin and Hamekasi plains (Hamedan Province), Proceedings of the conference on hazards of sinkholes in karst terrains with emphasis on sinkholes of Hamedan, West Regional Water Authority.
- Das, B. M., 1994- Advanced soil mechanics, Translated by Yazdchi M., University of Tehran press.
- Das, B. M., 1998a- Principles of Foundation Engineering, Translated by Tahouni S., University of Tehran press, Vol. 2.
- Das, B. M., 1998b- Principles of Geotechnical Engineering, Translated by Tahouni S., University of Tehran press, Vol. 1.
- Rahnema, M. B. & Kazemi, A., 2006- Ground Subsidence due to groundwater level in Rafsanjan plain, First National Symposium of Irrigation and Drainage Networks Management, Kerman University.
- Shemshaki, A. & Soltani, I. E., 2005- An outline causes of occurrence ground subsidence in SW Tehran, Geological Survey and Mineral Exploration of Iran.
- Shemshaki, A., Bolourchi, M. J. & Ansari, F., 2005- Ground subsidence Evaluation in Tehran- Shahryar plain, Geological Survey and Mineral Exploration of Iran.
- Tehran Regional Water Authority, 2003- Proposal Justification report of respite impermissible of Eshtehard plain.
- Tehran Regional Water Authority, 2005a- Geophysical prospecting of Eshtehard plain, Toseyeh Olom Zamin Co.
- Tehran Regional Water Authority, 2005b- Semicomprehensive groundwater studies of Eshtehard plain, Vol. 1, 2 and 3, Abkhan Consulting Eng. Co.
- Tehran Regional Water Authority, 2005c- Statistical report of surface and ground Water resources and utilities of the 7 studies area under coverage of General Office affairs of Tehran Province water, Eshtehard area, Lar Consulting Eng. Co.
- USGS, 2000- Land Subsidence in United States, Fact Sheet- 165- 00, Internet Paper, Winter 2008.
- Yousefi, M., 2000- Geological map of Eshtehard, Scale 1/100000, Geological Survey and Mineral Exploration of Iran.

Evaluation of Gradual Ground Linear Subsidence and Geotechnical Parameters Assessment in the Taleghani Site of Eshtehard

F. Rezaie^{1*} & A. Dadsetan²

¹Research Institute for Earth Sciences, Geological Survey of Iran, Tehran, Iran.

²Geological Survey of Iran, Tehran, Iran.

Received: 2007 November 27 Accepted: 2010 January 24

Abstract

Ground subsidence in eastern part of Eshtehard, built on the alluvial deposits, is linear and gradual. Preparing geological map and profiles; we studied the structural geology of the area. The sort and situation of aquifer, evolution of ground water levels and hydrochemistry were studied and the presence of ancient channel was detected by geoelectric method. The geotechnical studies suggest that the soils in the area (USCS Classification) belong to Lean clay (CL), Fat Clay (CH) and Silty Sand (SM). The maximum soil settlement is more than allowable settlements and soils recognized to be dispersive to semi-dispersive soils. The possible entrance of waste water from Eshtehard Industrial town into Eshtehard Qanat, from septic wells and transfer water system seems to provide necessary moisture for dispersive soils and have caused the subsidence in the area. Hydrogeology of alluvial aquifer was evaluated and indicates a negative debit. Although the hydrographs of pizometric wells are not compensated but it display any role in linear subsidence. Soils prone to dispersion by infiltration of water from septic wells and urban water system and the presence of ancient Qantas hidden in the depth of 15 meters caused linear ground subsidence. The results of this study show the development of ancient Eshtehard city and the selection of new site was not carried out on the geotechnical basis. Therefore it is recommended that before constructing any projects, geotechnical studies are necessary.

Keywords: Linear Subsidence, Dispersive, Groundwater Hydrology, Eshtehard

For Persian Version see pages 3 to 12

*Corresponding author: F. Rezaie; E-mail:rezaie8@yahoo.fr

New Structural Evidence of Alborz Fault (North Qom), Evidence for Transfer of Inversion from Central-West Alborz Faults to the Same Oriented Faults in South Alborz

R. Elyaszadeh^{1*}, M. Mohajel², B. Farahani³, S.R. Jafari⁴

¹ Geological Survey of Iran, Tabriz, Iran

² Department of Geology, Faculty of Science, Tarbiat Modares University, Tehran, Iran.

³ Geological Survey of Iran, Tehran, Iran

⁴ Department of Geology, Payam-e-Noor University, Tehran, Iran

Received: 2009 October 26 Accepted: 2010 May 04

Abstract

Structural analysis of the NW-SE oriented Alborz fault in north Qom ,demonstrates young left-lateral reverse displacement evidence ,based on the rake of the striations on young fault planes (45° - 53°). Strong structural evidence exists for its previous right-lateral reverse displacement. Young left-lateral displacement evidence in NW-SE oriented oblique and strike-slip faults recently was documented in central-west (eg .Moshav and Talegan faults) and south Alborz mountains (eg. Ipak and Kusk-e-Nosrat faults) due to the compression direction of the south Caspian oceanic crust with Alborz mountains. Replacement of right-lateral reverse mechanism by young left-lateral reverse mechanism in the Alborz fault in north Qom implies that the inversion of the central-west Alborz faults is being transferred through to the same oriented faults in south Alborz mountain up to the Qom area.

Keywords: Alborz fault, Alborz, Strike - slip faults, Qom

For Persian Version see pages 13 to 22

*Corresponding author: R. Elyaszadeh; E-mail: Ramin403@yahoo.com